

# Starkniederschlagshöhen und -spenden gemäß KOSTRA-DWD-2020

## Rasterfeld 87127

(Zeile 87, Spalte 127)

### Regenspende und Bemessungsniederschlagswerte in Abhängigkeit von Wiederkehrzeit T und Dauerstufe D

| Dauerstufe D |     | Wiederkehrzeit T |            |      |            |      |            |      |            |      |            |       |            |       |            |       |            |       |            |
|--------------|-----|------------------|------------|------|------------|------|------------|------|------------|------|------------|-------|------------|-------|------------|-------|------------|-------|------------|
|              |     | 1 a              |            | 2 a  |            | 3 a  |            | 5 a  |            | 10 a |            | 20 a  |            | 30 a  |            | 50 a  |            | 100 a |            |
| min          | Std | mm               | l / (s ha) | mm   | l / (s ha) | mm   | l / (s ha) | mm   | l / (s ha) | mm   | l / (s ha) | mm    | l / (s ha) | mm    | l / (s ha) | mm    | l / (s ha) | mm    | l / (s ha) |
| 5            |     | 6,7              | 223,3      | 8,1  | 270,0      | 9,0  | 300,0      | 10,1 | 336,7      | 11,7 | 390,0      | 13,4  | 446,7      | 14,5  | 483,3      | 15,9  | 530,0      | 18,0  | 600,0      |
| 10           |     | 8,6              | 143,3      | 10,3 | 171,7      | 11,4 | 190,0      | 12,9 | 215,0      | 14,9 | 248,3      | 17,1  | 285,0      | 18,5  | 308,3      | 20,3  | 338,3      | 22,9  | 381,7      |
| 15           |     | 9,7              | 107,8      | 11,7 | 130,0      | 12,9 | 143,3      | 14,6 | 162,2      | 16,9 | 187,8      | 19,3  | 214,4      | 20,9  | 232,2      | 23,0  | 255,6      | 26,0  | 288,9      |
| 20           |     | 10,6             | 88,3       | 12,7 | 105,8      | 14,1 | 117,5      | 15,9 | 132,5      | 18,4 | 153,3      | 21,0  | 175,0      | 22,8  | 190,0      | 25,0  | 208,3      | 28,2  | 235,0      |
| 30           |     | 11,8             | 65,6       | 14,3 | 79,4       | 15,8 | 87,8       | 17,8 | 98,9       | 20,6 | 114,4      | 23,6  | 131,1      | 25,5  | 141,7      | 28,0  | 155,6      | 31,6  | 175,6      |
| 45           |     | 13,2             | 48,9       | 15,9 | 58,9       | 17,6 | 65,2       | 19,8 | 73,3       | 23,0 | 85,2       | 26,3  | 97,4       | 28,5  | 105,6      | 31,3  | 115,9      | 35,3  | 130,7      |
| 60           | 1   | 14,3             | 39,7       | 17,2 | 47,8       | 19,0 | 52,8       | 21,4 | 59,4       | 24,9 | 69,2       | 28,4  | 78,9       | 30,7  | 85,3       | 33,8  | 93,9       | 38,1  | 105,8      |
| 90           | 1,5 | 15,9             | 29,4       | 19,1 | 35,4       | 21,2 | 39,3       | 23,8 | 44,1       | 27,6 | 51,1       | 31,6  | 58,5       | 34,2  | 63,3       | 37,5  | 69,4       | 42,4  | 78,5       |
| 120          | 2   | 17,1             | 23,8       | 20,6 | 28,6       | 22,8 | 31,7       | 25,6 | 35,6       | 29,8 | 41,4       | 34,0  | 47,2       | 36,8  | 51,1       | 40,4  | 56,1       | 45,7  | 63,5       |
| 180          | 3   | 19,0             | 17,6       | 22,9 | 21,2       | 25,3 | 23,4       | 28,4 | 26,3       | 33,0 | 30,6       | 37,7  | 34,9       | 40,8  | 37,8       | 44,9  | 41,6       | 50,7  | 46,9       |
| 240          | 4   | 20,4             | 14,2       | 24,6 | 17,1       | 27,2 | 18,9       | 30,6 | 21,3       | 35,5 | 24,7       | 40,6  | 28,2       | 43,9  | 30,5       | 48,3  | 33,5       | 54,5  | 37,8       |
| 360          | 6   | 22,6             | 10,5       | 27,3 | 12,6       | 30,1 | 13,9       | 33,9 | 15,7       | 39,4 | 18,2       | 45,0  | 20,8       | 48,7  | 22,5       | 53,5  | 24,8       | 60,4  | 28,0       |
| 540          | 9   | 25,0             | 7,7        | 30,2 | 9,3        | 33,4 | 10,3       | 37,6 | 11,6       | 43,6 | 13,5       | 49,8  | 15,4       | 53,9  | 16,6       | 59,3  | 18,3       | 66,9  | 20,6       |
| 720          | 12  | 26,9             | 6,2        | 32,5 | 7,5        | 35,9 | 8,3        | 40,4 | 9,4        | 46,9 | 10,9       | 53,6  | 12,4       | 58,0  | 13,4       | 63,7  | 14,7       | 72,0  | 16,7       |
| 1080         | 18  | 29,8             | 4,6        | 36,0 | 5,6        | 39,8 | 6,1        | 44,8 | 6,9        | 51,9 | 8,0        | 59,4  | 9,2        | 64,2  | 9,9        | 70,6  | 10,9       | 79,7  | 12,3       |
| 1440         | 24  | 32,1             | 3,7        | 38,7 | 4,5        | 42,7 | 4,9        | 48,1 | 5,6        | 55,8 | 6,5        | 63,8  | 7,4        | 69,0  | 8,0        | 75,9  | 8,8        | 85,7  | 9,9        |
| 2880         | 48  | 38,2             | 2,2        | 46,0 | 2,7        | 50,9 | 2,9        | 57,3 | 3,3        | 66,5 | 3,8        | 76,0  | 4,4        | 82,2  | 4,8        | 90,3  | 5,2        | 102,0 | 5,9        |
| 4320         | 72  | 42,2             | 1,6        | 50,9 | 2,0        | 56,3 | 2,2        | 63,4 | 2,4        | 73,6 | 2,8        | 84,1  | 3,2        | 91,0  | 3,5        | 100,0 | 3,9        | 112,9 | 4,4        |
| 5760         | 96  | 45,4             | 1,3        | 54,8 | 1,6        | 60,5 | 1,8        | 68,1 | 2,0        | 79,1 | 2,3        | 90,4  | 2,6        | 97,8  | 2,8        | 107,5 | 3,1        | 121,4 | 3,5        |
| 7200         | 120 | 48,0             | 1,1        | 57,9 | 1,3        | 64,0 | 1,5        | 72,1 | 1,7        | 83,7 | 1,9        | 95,6  | 2,2        | 103,4 | 2,4        | 113,7 | 2,6        | 128,3 | 3,0        |
| 8640         | 144 | 50,3             | 1,0        | 60,6 | 1,2        | 67,0 | 1,3        | 75,4 | 1,5        | 87,6 | 1,7        | 100,1 | 1,9        | 108,3 | 2,1        | 119,0 | 2,3        | 134,4 | 2,6        |
| 10080        | 168 | 52,3             | 0,9        | 63,0 | 1,0        | 69,7 | 1,2        | 78,4 | 1,3        | 91,0 | 1,5        | 104,0 | 1,7        | 112,5 | 1,9        | 123,7 | 2,0        | 139,7 | 2,3        |

# Starkniederschlagshöhen und -spenden gemäß KOSTRA-DWD-2020

## Rasterfeld 87127

(Zeile 87, Spalte 127)

### Örtliche Unsicherheiten in Abhängigkeit von Wiederkehrzeit T und Dauerstufe D

| Dauerstufe D |     | Wiederkehrzeit T |     |     |     |      |      |      |      |       |
|--------------|-----|------------------|-----|-----|-----|------|------|------|------|-------|
|              |     | 1 a              | 2 a | 3 a | 5 a | 10 a | 20 a | 30 a | 50 a | 100 a |
| min          | Std | ± %              | ± % | ± % | ± % | ± %  | ± %  | ± %  | ± %  | ± %   |
| 5            |     | 10               | 12  | 13  | 13  | 14   | 15   | 15   | 16   | 16    |
| 10           |     | 13               | 15  | 16  | 17  | 18   | 19   | 19   | 20   | 20    |
| 15           |     | 14               | 16  | 17  | 18  | 19   | 20   | 21   | 21   | 22    |
| 20           |     | 15               | 17  | 18  | 19  | 20   | 21   | 21   | 22   | 23    |
| 30           |     | 15               | 17  | 18  | 19  | 20   | 21   | 22   | 22   | 23    |
| 45           |     | 15               | 17  | 18  | 19  | 20   | 21   | 22   | 22   | 23    |
| 60           | 1   | 14               | 17  | 18  | 19  | 20   | 21   | 21   | 22   | 23    |
| 90           | 1,5 | 14               | 16  | 17  | 18  | 19   | 20   | 21   | 21   | 22    |
| 120          | 2   | 13               | 15  | 16  | 17  | 18   | 19   | 20   | 20   | 21    |
| 180          | 3   | 12               | 14  | 15  | 16  | 17   | 18   | 19   | 19   | 20    |
| 240          | 4   | 11               | 13  | 14  | 15  | 16   | 17   | 18   | 18   | 19    |
| 360          | 6   | 10               | 12  | 13  | 14  | 15   | 16   | 17   | 17   | 18    |
| 540          | 9   | 10               | 11  | 12  | 13  | 14   | 15   | 16   | 16   | 17    |
| 720          | 12  | 9                | 11  | 12  | 13  | 14   | 14   | 15   | 15   | 16    |
| 1080         | 18  | 9                | 10  | 11  | 12  | 13   | 14   | 14   | 15   | 15    |
| 1440         | 24  | 9                | 10  | 11  | 11  | 12   | 13   | 13   | 14   | 15    |
| 2880         | 48  | 11               | 11  | 11  | 11  | 12   | 12   | 13   | 13   | 14    |
| 4320         | 72  | 12               | 11  | 12  | 12  | 12   | 12   | 13   | 13   | 13    |
| 5760         | 96  | 13               | 12  | 12  | 12  | 12   | 13   | 13   | 13   | 13    |
| 7200         | 120 | 14               | 13  | 13  | 13  | 13   | 13   | 13   | 13   | 14    |
| 8640         | 144 | 14               | 14  | 13  | 13  | 13   | 13   | 14   | 14   | 14    |
| 10080        | 168 | 15               | 14  | 14  | 14  | 14   | 14   | 14   | 14   | 14    |

### Parameter für abweichende T und D

#### Lokationsparameter $\xi$ (Xi)

14,46069978

#### Skalenparameter $\alpha$ (Alpha)

4,13635972

#### Formparameter $\kappa$ (Kappa)

-0,1

#### 1. Koutsoyiannis-Parameter $\theta$ (Theta)

0,0171123

#### 2. Koutsoyiannis-Parameter $\eta$ (Eta)

0,74912379

Parameter für dauerstufenübergreifende Extremwertschätzung nach KOUTSOYIANNIS et al. 1998.

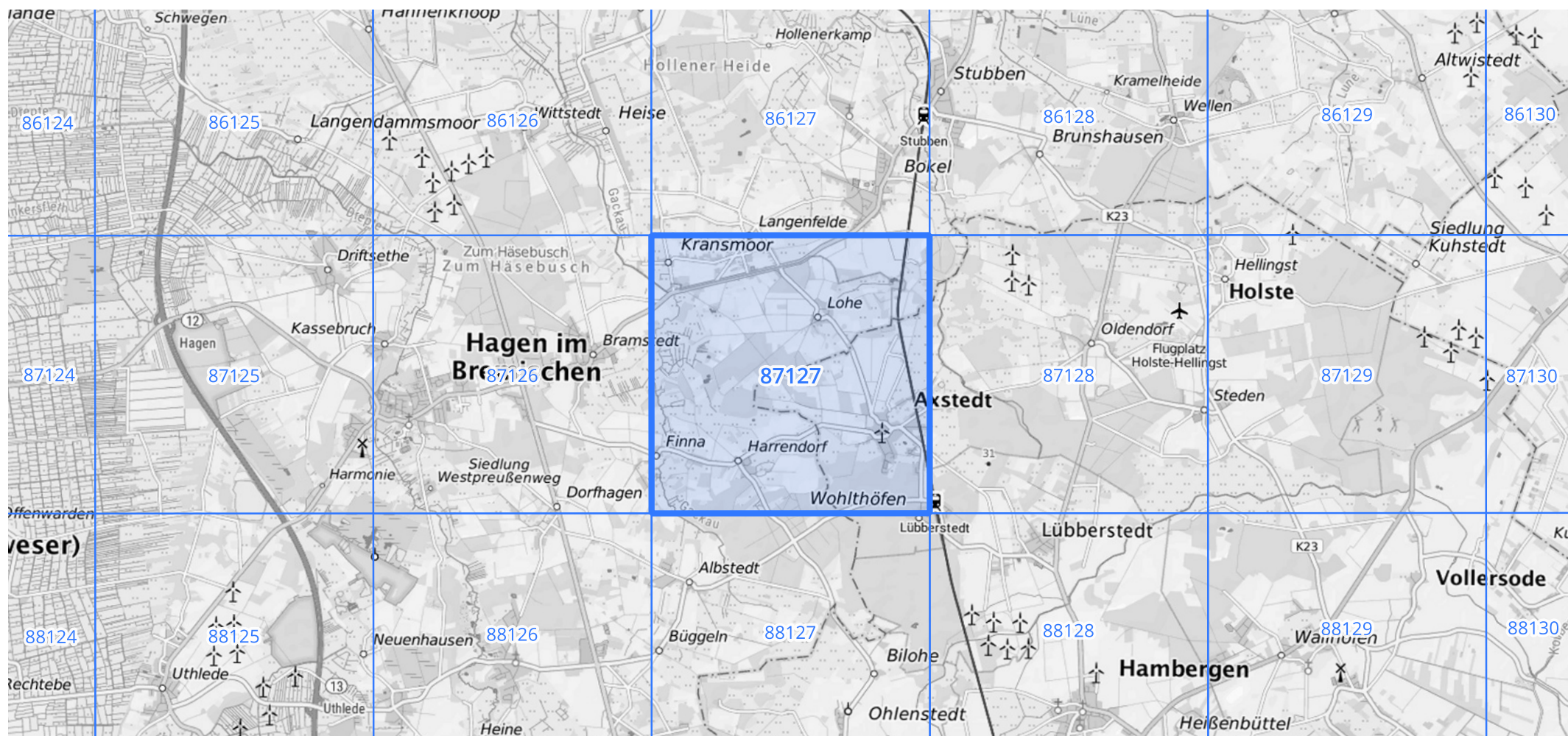
Siehe auch Anwendungshilfe zu KOSTRA-DWD-2020 des Deutschen Wetterdienstes.

# Starkniederschlagshöhen und -spenden gemäß KOSTRA-DWD-2020

## Rasterfeld 87127

(Zeile 87, Spalte 127)

### Übersichtskarte des Rasterfeldes 87127, M 1 : 100 000



Quelle Rasterdaten: KOSTRA-DWD-2020 des Deutschen Wetterdienstes, Stand 12/2022.

Seite 3 von 3

Kartendarstellung: © Bundesamt für Kartographie und Geodäsie (2023), Datenquellen: [https://sgx.geodatenzentrum.de/web\\_public/gdz/datenquellen/Datenquellen\\_TopPlusOpen.html](https://sgx.geodatenzentrum.de/web_public/gdz/datenquellen/Datenquellen_TopPlusOpen.html)

Für die Richtigkeit und Aktualität der Angaben wird keine Gewähr übernommen. Erstellt 01/2023.